

III-18 プランジャー型造波桿の造波特性について

京都大学工教養 正員 ○野田英輔
京都大学大学院 正員 大槻信義

1) まえがき

海岸工学の諸問題を研究する手段の一つとして、近年模型実験がさかんに利用されるようになつた。しかしこのような模型実験を行なうにあたって、いつも問題になるのは模型の大きさおよび実験装置の選定である。この選定のいかんによつては実験の巧拙ばかりでなく、実験の成果をも左右することになるから、十分な注意と慎重な考慮とはらう必要がある。このような意味で、海岸工学実験における造波桿は重要な実験装置の一つであり、海岸工学的研究で十分な成果をうるためにには、どうしても造波桿の機能を十分に把握していなければならぬ。とくに、その生成波の特性については十分に検討する必要があり、二三の実験的研究を試みた。

実験は京大工学研究所水理実験室の長さ24m、巾0.5mおよび深さ1.0mの両面ガラス張り水槽を用いて行なつた。水槽の一端には、0.5HPの電動モーターに周期が0.31から1.20secまで連続的にかえられる無段变速桿を取り付けたPlunger type の造波桿と、0.5HPの電動モーターをもつFlutter type の造波桿を併置し、他端には、8mにわたつて $\frac{1}{10}$ の勾配からなる消波用の回音床を設け実験を行なつた。なお水深は60cmを一定にし、波形は造波桿から2, 4, 6および8mの距離で電気抵抗式波高計を用いてペン書きオフシログラフに自記せた。

2) プランジャー型造波桿の生成波について

一般に実験水槽で波を起す方法としては、Flutter type, Plunger type, Piston typeおよびPneumatic typeなどの造波桿が用ひられてゐるが、従来の実験では、Flutter typeのものがかなり多く用ひられてきた。しかし、近年、つきのような理由からPlunger typeの造波桿もかなり利用されるようになった。すなわち、

1. 造波体の背面を鉛直にすれば、造波桿背面への波の進行がないこと。(したがつて背面の消波装置は不要になること)
2. 3次元水槽において、Flutter typeの造波桿を用ひると、スパンが大きい場合には造波桿が撓み、一様な平面波がえにくうこと、および
3. 所要馬力がFlutter typeの造波桿にくらべて小さくてすむこと。

などがあげられるが、その生成波の特性からPlunger typeの造波桿の利害は十分に吟味がなされてゐない。(したがつてPlunger typeの造波桿を用ひた場合の生成波についてはさらに検討する必要がある)。F.Ursellは「水面における円筒体の上下運動について」という論文で、半円形の断面をもつ物体が水面で上下運動をする時、水面がどのように変動するかを2次元的に考察してゐる。彼はまず運動は微小振幅であると仮定して、水面の変動を取り扱つた。(したがつて、その結果を利用すると、Plungerの造波体の断面形は半円で、その半径がa, Plungerの振幅

を $S/2$ とい、生成波の波高と H とすると、

$$H/S = f(Ka, \frac{h}{L_0})$$

なる関係で表わされる。ここで、 $K = 4\pi^2/gT^2$ 、 h は平均水深、 L_0 は沖波波長であり、 T は波の周期、 g は重力加速度である。図-1 の実線は $h/L_0 \rightarrow \infty$ の場合の H/S と Ka との関係を示す理論曲線であり、この図には著者と Ursell の実験結果もプロットされている。この実験結果では $\frac{h}{L_0}$ の値は大きいので上の関係式にあって $\frac{h}{L_0}$ は無視でき、著者および Ursell の実験では Plunger の振巾 $\frac{h}{L_0}$ および半径 a はそれぞれ 3.0 cm , $0.7 \sim 1.4 \text{ cm}$ および 6.0 cm , 15 cm である。これから Ursell の実験では $0.5 \leq Ka \leq 2.8$ では理論値と実験値とはかなりよく一致している。著者の実験では Ka の値が $0.222 \sim 0.39$ では理論値と実験値はよく一致しているが、 $Ka \geq 0.4$ では実験値の方がかななり大きくなる。さらに $Ka > 1.0$ では波高の時間的変化が激しく、模型実験には不適当で、一様な波高の波はえらかない。これらの実験結果から、Plunger 型の造波桿を用いて実験を行なう場合、模型実験の範囲に対して、想定の波高、周期をうるためには、 Ka の値のほかに Plunger の振巾および半径についても詳細な検討が必要である。この点については十分な実験資料がないので今後さらに詳細に検討するつもりである。なお、造液体の断面形がことなると生成波の特性もことなってくる。この点については講演時に詳述する。

3)種々の造波桿による生成波の比較

模型実験に用いる造波桿はその造波特性 H/S からみた場合、できるだけ簡単な構造で、波高、周期とも広範囲にわたってきりいな波すなわち一様な波高の波がえらわれる方が望ましい。図-2 は造波桿から 4 m の位置の波高と造波桿の振巾との比と周期 T との関係を Piston, Flutter, および Plunger について比較したもので、 $h = 6 \text{ m}$ と一定にした場合には Flutter および Piston 型造波桿では H/S は周期の $\sqrt{2}$ の関数として、 $a = 6 \text{ cm}$ と一定にした場合は Plunger はやはり周期のみの関数として H/S が表わされる。この図から Piston, Flutter type とも $T \geq 1.0 \text{ sec}$ より大きい場合には実験波として適当な波がえらわれるが、Flutter type では $T < 0.7 \text{ sec}$ では波高の変動がはげしい。また Plunger type でも $T \leq 0.5 \text{ sec}$, $T \geq 1.2 \text{ sec}$ では波高の変動がはげしくなっている。

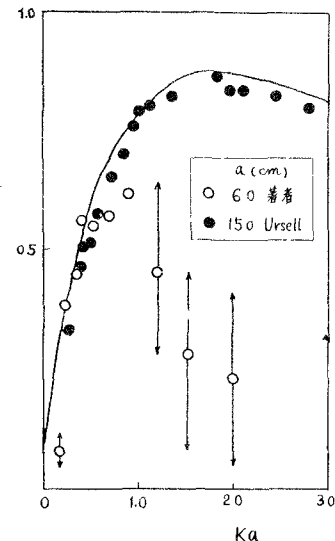


図-1 H/S と Ka との関係
(Plungertype 造波桿)

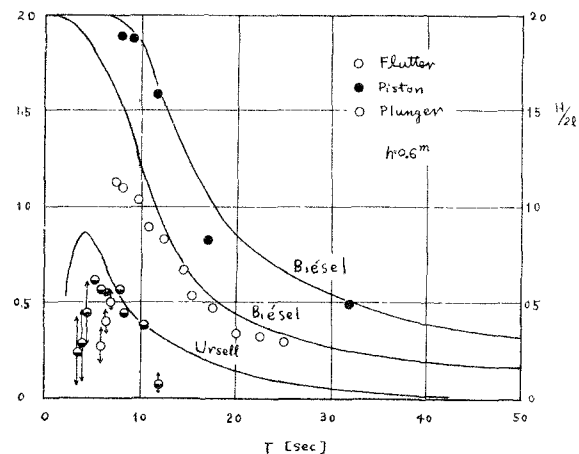


図-2 波高比と周期との関係
Piston, Flutter, Plunger